

藏書  
262105

水工結構應力分析叢書之九

# 拱 壙

潘家錚 編著

8;2

上海科學技術出版社

514  
3238.2

水工結構應力分析叢書之九

# 拱 壙

潘家鋒 編著

上海科學技術出版社

## 內容提要

本書論述拱坝应力計算的一些解法，分圓筒法、純拱法和試載法等。純拱法中討論到形常數、載常數、一般性理論，變截面及等截面圓拱計算等，而試載法則為經過數十年來的发展，證明是較為合理而切实用的。最後略述模型試驗中的一些問題。本書可供水利工程設計人員及有關專業院校師生參考之用。

水工結構應力分析叢書之九

## 拱 壇

潘家鋒 編著

上海科學技術出版社出版

(上海南京西路 2001 号)

上海市書刊出版業營業許可證出 093 号

上海市印刷五厂印刷 新華書店上海發行所總經售

开本 850×1168 1/32 印張 5 16/32 橋頁 3 字數 135,000

1959年11月第1版 1959年11月第1次印製

印數 1—1,500

統一書號：15119 · 1324

定 价：(十二)0.92元

## 目 录

第一章 概述.....	1
第二章 圓筒法.....	6
第三章 純拱法中的拱和基礎常數.....	10
第四章 計算彈性拱的一般性理論.....	15
第五章 变截面圓拱的計算.....	19
第六章 等截面圓拱的計算.....	32
第七章 簡易試載法.....	60
第八章 試載法概述.....	71
第九章 基本理論和公式.....	78
第十章 准備工作.....	103
第十一章 徑向調整.....	110
第十二章 切向調整.....	144
第十三章 扭轉調整.....	149
第十四章 再調整.....	157
第十五章 应力計算.....	160
第十六章 模型試驗.....	167
参考文献 .....	172

# 第一章 概 述

拱坝是一种先进的坝型，它能适当地利用材料的强度而不是其重量来获得稳定；拱坝中渗透压力及重力只起了次要的作用，而温度变化和混凝土收缩则上升为主要荷载之一。由于拱坝的结构作用较重力坝合理，故其体积常较重力坝的小。一般重力坝坝高与底宽之比常为1:0.7甚或达1:1，而拱坝常仅为1:0.3, 1:0.2。轻型的薄拱坝甚至能达到1:0.1以下。因此和重力坝相較，拱坝能节约大量的混凝土，从而节约了大量的建筑材料（水泥）和加速了建设进度，这完全符合我国大跃进的形势要求，和党所提出的“多快好省建设社会主义总路线”的精神。其次，拱坝的安全性也优于重力坝。根据国内外许多学者的研究，均认为拱坝是“潜在的安全性”最高的一种坝型。从实践上来看，拱坝的失事记录，极为少见，某些实验性的拱坝（如美国的司蒂文森坝）曾受到远远超过设计值的荷载并在顶上大量溢流，仍未造成破坏。因此在适当的条件下，拱坝常为混凝土坝中最经济和安全的一种。

过去也有部分人不赞成采用拱坝。他们认为拱坝混凝土的要求高，不能大量埋成毛石，每立方水泥用量较多，并且不容易象重力坝一样快速施工；拱坝的外形较复杂，施工准备工作较困难；拱坝横缝宜灌浆处理，因而对混凝土温度控制较严格，并增加灌浆工序，会延长工期；此外拱坝顶部溢流问题较重力坝难解决，对地形地质的要求也高。当然，这些问题要视具体工程的条件来衡量，但拱坝体积较小和安全性较高的两个基本优点，是众所公认的，何况上述的某些问题，在工人群众和技术人员已经解放了思想的今天

來說，實在已不是什麼不可克服的困難了。

我國過去修建的拱壩不多，最近高达八十余公尺的流溪河拱壩和响洪甸重力拱壩的完成，給今后大量修建高拱壩創造了條件。1958年大躍進中，許多巨型和高大的拱壩都已紛紛設計興建。由於我國水利資源地區地形、地質條件優越之處極多，可以預言，拱壩的設計和興建將為我國大壩工程的主要發展方向之一。

一般講來，拱壩對地形、地質上的要求較高。地形上言，拱壩適宜修建於狹而陡的U形或V形峽谷中，對於寬闊平坦的梯形峽谷，修建純拱壩不甚適宜，但可建築以重力為主的重力拱壩，後者的應用範圍可以至河谷寬高比 $\frac{B}{H}$ 等於3.5以至4.0左右。

拱壩在庫水壓力及溫度變化等荷載作用下拱端會發生巨大的推力和剪力，直接傳達到基岩上，因此不但要求岩石的抗壓強度高，彈性模量大，尤其要求基岩致密完整，一切節理、裂縫等等都對拱壩不利，我們在決定修建拱壩時，必須在壩址區進行詳盡的地質勘探工作，弄清楚岩層、岩性、復蓋風化層、節理、裂隙、斷層、滑坡及水文地質等問題。但有些人對拱壩的地質問題抱着過分大的顧慮，這也是不必要的，除非岩石過分軟弱，一般基岩對抗壓強度的要求是容易滿足的，基礎變形雖對拱壩不利，但可通過工程措施適當地予以改善，壩區的節理及裂縫則每可通過灌漿來解決，以目前的技術水平來講，較不利的地質條件並不能完全否定建造拱壩的可能性。

拱壩除按其結構作用，可分為“拱壩”及“重力拱壩”兩大類外（實際上也沒有明顯的界限），並可按布置形式分為“定圓心拱壩”及“變圓心拱壩”兩類。前者各高程拱圈的圓心在平面上位於同一點，其半徑（或外半徑）亦常相等，後者各高程拱圈圓心在平面上不位於同一點，其半徑亦不等。除此以外，拱壩也有不用圓拱形式，而做成穹形薄殼式的，當然不能再稱之為定圓心或變圓心拱壩了。

拱壩壩高與最大厚度之比，可以從重力拱壩的2:1到純拱壩

的 10:1 或 12:1。拱圈以采用圓拱形式為多見，這時，中心角及半徑-厚度比以越大越好，中心角一般不希望小於  $100^\circ$ 。

拱壩的應力計算工作素稱浩大，我們如把目前已有的幾種計算方法來歸納一下，不妨把它們分為下列四類：

(1) 圓筒法 最早的拱壩是定圓心、定半徑的圓筒式結構，因此設計者把它當作一個浸在水中的圓筒來計算，計算的公式就是普通薄管（或厚管）公式，十分簡單。早年的工程師們用這種簡單方法設計和修建了不少低的或中等高度的拱壩，他們在設計中採用一個較大的安全因數來解決簡單公式中所未能考慮的各種問題。當然，這樣做不能得出經濟和安全的結果。原始的圓筒公式，現在已很少採用了（即使作為初步估計，也常都不用此法）；但若將圓筒法加以改進，使能包括若干邊界條件影響，則仍很適用於定圓心、等半徑的薄拱壩。這種圓筒形薄拱壩如能按彈性圓薄殼來處理，結果可更好些；可是事實上，因邊界條件複雜，應用彈性薄殼法來計算拱壩，具有不少數學上的困難。

(2) 純拱法 此法視拱壩由一組組水平（或斜的）拱圈組成，而且假定各拱圈間無相互牽涉作用，因得視為獨立的拱進行計算。純拱法以其理論淺顯，計算較方便，曾風行一時；而其缺點，顯然在於它不能考慮拱圈間的相互影響，因而計算結果也不能表示拱壩中的實際應力情況。實際上，純拱法可稱是一種拱壩的“設計方法”，而不是一種符合實際情況的計算理論。到目前，仍有不少國家的工程師採用此法設計拱壩。我們認為在比較次要的工程，或作為初步計算時，可以採用純拱法，此外，純拱法的計算理論及公式是試載法的基礎。

(3) 懸臂拱法 此法是由純拱法逐漸推演發展而來。簡單地說，此法視拱壩由兩組不同的結構——水平的拱圈和垂直的懸臂梁所組成，計算中同時考慮拱及梁的作用。因此，在理論上比較合理些。如何能在計算中同時考慮拱及梁的作用呢？美國星務局的

工程师們創用了一种“試載法”的步驟，甚为风行。因此，我們常以試載法来称呼此法。实际上，“試載”仅是一种計算步驟，而非原理，故以称为“悬臂拱法”更合理些。关于試載法的詳細理論及方法，詳見第八至十五章，这里暫不詳述。

也有人主張成立联立方程式以代替“試載”的工作，但这条路不易走通。因为第一，当拱坝受力而发生开裂等情况时，叠加原理不复适用，联立方程式法就将失效；第二，如果要考虑拱及悬臂梁各种方向位移的調整使其相符合时，联立方程式的数量将浩大无比，建立和解算这組方程式会遭遇到很大的困难。

試載法的工作量也是相当浩大的，它的优点是在理論上較合理，而且富有伸縮性，对于重要的工程，或最后的定案計算，可以进行得深入一些；对于次要的工程，或初步計算时，可以少取一些拱圈，少校正一些位移，并用簡捷近似的方法來計算拱圈及梁，而将工作量压缩到最少，使与所需的精度相称。最简单的試載法，只考慮中央悬臂梁及拱圈拱頂处的徑向位移調整，可称为“中央悬臂梁法”，此法計算工作不多，常可取代純拱法。

(4) 彈性理論法 最精确的拱坝应力計算，應該由彈性理論的方法来完成，在彈性理論的觀点上，拱坝应力計算問題是一种什么性质的問題呢？首先，这是一个三向的彈性体应力問題；其次，它属于彈性力学第三类基本問題(部分边界上的力系分布为已知，部分边界上的位移或位移規律为已知)。換句話說，拱坝应力問題是一种特殊的“接触問題”(拱坝和基岩的接触問題)。

从以上的討論，不难看出要用彈性理論方法來計算拱坝应力，实在是一个极其复杂的問題。

第一次采用彈性力学途徑計算拱坝应力的，恐怕要推諸英國的Pippard教授及其助手們。他們首先导出了一些基本公式，并用迭弛法計算了一个定圓心的薄圓拱坝(英國給伊拉克建造的杜賡壩)；他們的方法，虽然在理論上富有兴趣，但目前來說，还不能承

誠然这是一个适宜于設計工作中采用的方法。我們如注意到此法暫時尚只适用于定圓心圓拱壘，計算中不能考慮开裂問題，需要熟悉迭弛計算的大批人員，經過为时数年的計算，还要借助于模型試驗，才能得出初步結果，就不难了解此点。

如果在严谨的彈性理論中，加上一些簡化的假定，則可以使計算中的困难減輕些。例如假定拱壘厚度較其他尺寸为小，这就归化成彈性薄壳的計算問題，和由圓筒法发展而来的薄壳法相同。我們倘注意到近年来拱壘厚度有日益減薄的趋势，拱壘形式也不再限于直立的圓筒形式，而可造成弯形，則将不能或不宜再用“水平拱圈”、“垂直悬臂梁”这种經典觀念来分析它了。如何应用彈性薄壳的理論來計算薄拱壘的問題，将日益显得重要，而将被提到研究的日程上来。

本书中，我們將仅限于介紹一些經典解法，首先，將論述圓筒法，純拱法和簡易的試載法，特別注重論述純拱法。在第八至十五章中我們完全討論試載法，該法經過数十年来的发展和理論及實驗上的研究，都証明是較为合理而切实用的——至少在計算圓筒形(非弯形薄壳式的)的拱壘是适宜的。最后則略述模型試驗中的一些問題。

## 第二章 圓筒法

考慮圖1中的圓筒，四面浸在水中，在深度為 $h$ 處，取出一斷面，四周承受均勻外水壓力 $p=wh$ （ $w$ 為水的容重），筒內的罐壓力為 $P_x=wh \cdot R_u$ （ $R_u$ 為外半徑），單位罐應力為

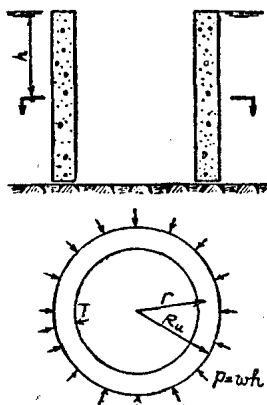


图 1

$$\sigma_z = \frac{wh \cdot R_u}{T} \quad (1)$$

式中 $T$ 為拱圈厚，這就是圓筒法的基本公式。如我們已規定拱壩的允許應力 $[\sigma]$ ，則由式(1)，即可計算各斷面上的厚度 $T$ 。

圓筒法有下列幾個特點：

(1) 只能適用於定圓心等截面的薄圓拱壩（勉強可適用於變圓心的等截面圓拱壩，不能適用於非圓形的拱壩）。

(2) 圓筒法不能用來計算溫度應力、地震應力和基礎影響等。  
(3) 圓筒法完全忽略了邊界條件，因此只能求出一個應力 $\sigma_z$ （如考慮自重影響，尚可求出一個垂直應力 $\sigma_y$ ）。實際上，拱壩各元素上有 12 個分應力，而且所求出的 $\sigma_z$ ，也僅僅是真實應力的一個極其粗糙的平均值。

式(1)是一個薄圓筒公式，當然，也可以用厚管公式來代替它（厚管公式可見水工隧洞一書，此地從略）。

上面說過，圓筒法中完全沒有顧及拱壩實際的邊界條件，對定

圓心薄拱壩來說，我們可以設法包括一些邊界條件影響在內，而使圓筒法的結果更較合理一些。

圖 2(a) 中示一修建於 U 形峽谷中的定圓心拱壩。我們首先可注意到拱壘之底，即圓筒之底，是與基岩固接而不能自由移位的，因此，將拱壘化為圓筒計算時，我們也把筒底與基岩固結起來，而如圖 2(b) 所示。這個問題可化為彈性地基上的梁來計算（見調壓井衬砌一書）；我們可以計算圓筒在水壓力及溫度應力下的力矩  $M_y$ 、剪力  $V_y$  及位移  $\Delta$ ，這些數值即近似地為原拱壘中央懸臂梁上的應力  $M_y$ 、 $V_y$  及徑向位移  $\Delta$ 。如圓筒為等厚度（上下不變），基礎為絕對剛固，則可以用調壓井衬砌一書中的資料進行計算；如圓筒上下厚度有變化，則可以化成階形梁來計算（詳見漸變段衬砌一書）。① 如要考慮基礎的變位影響，我們可以應用第十一章中的基礎變位常數  $k_1$ （即基礎上作用單位力矩所引起的轉動），將圖 2(c) 的固定端改為彈性固接端來進行計算（詳調壓井衬砌一書）。更精確一點，還應該考慮基礎受剪力後的徑向位移影響，這須再求出一個基礎徑向變形常數  $k_3$ （即單位剪力作用下的基礎

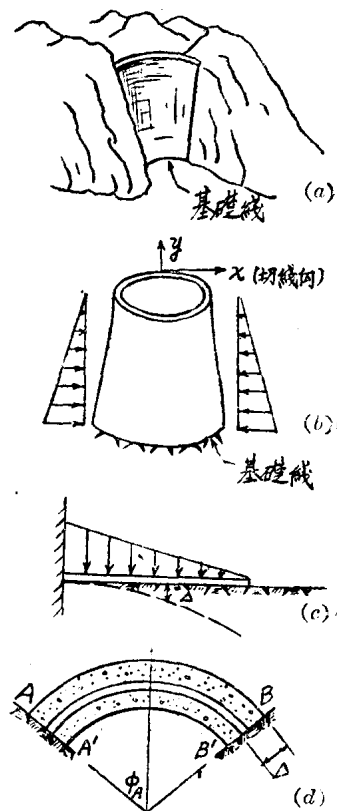


圖 2

① 如拱壘厚度上下呈直線變化，亦可用貝塞爾函數或米契爾函數計算之。參考 S. Timoshenko: Theory of Plates and Shells, 或機械工程學報四卷二期“法蘭應力計算的研究”及 Trans. A. S. C. E. 83 卷中 B. A. Smith 氏的 Arched Dams 一文。

徑向位移值)。總之，這是一個對稱圓筒在軸對稱荷載下的應力及變位計算問題，即使斷面是變化的，基礎是彈性接合而非絕對剛固的，我們也常能求出其解答。這種問題的詳細演算方法，可參閱上述調壓井衬砌及漸變段衬砌二書，本書中不再重複敘述。

求出梁的變位  $\Delta$  後，原拱壩各高程拱圈中的箍向壓力  $P_x$ ，不再等於  $(whR_u)$ ，而應該由  $\Delta$  來計算：

$$P_x = \frac{E_0 \cdot T}{r} \cdot \Delta \quad (2)$$

式中  $E_0$  為混凝土的彈性模量，以下常簡寫為  $E$ ； $T$  為拱壩厚， $r$  為平均半徑。

這樣我們已將壩底的邊界條件影響考慮進去，其後果是各高程拱圈的箍壓力  $P_x$  應該由式(2)而不是式(1)計算，同時我們又求出了中央懸臂梁上的應力  $V_y$  和  $M_y$ ；其次一個問題是拱壩各高程拱圈並非一個完整的圓圈，因此必須考慮拱端基礎的影響，這個問題可以用下述方法來近似地調整：在圖 2(d)中示某一高程的拱圈，若為完整圓筒，則按以上的計算，在該高程處的拱圈半徑將縮小一值  $\Delta$ ，而拱圈位置將要從  $AB$  移至  $A'B'$  处，但實際上  $AB$  兩點為拱圈兩端，已與基岩固接，不能自由變形，因此，我們可以把  $A'、B'$  兩點“拉回”到  $A、B$  处，計算這種措施下的引起的拱端應力(包括軸力  $P'_x$ 、剪力  $V'_x$  及力矩  $M'_x$ )，這種應力，與溫度降低  $t$  度所引起的應力完全相同，而

$$t = \frac{\Delta}{c \cdot r} \quad (3)$$

式中  $c$  為混凝土的線膨脹系數，拱圈中由於溫度降低所產生的應力，不論基礎為完全剛固或彈性相接，常能計算出來，這樣便校正了拱端邊界影響。

圓筒法經過這樣兩次校正後，邊界條件可望大致滿足(未能完全滿足的原因是：我們在處理第二種校正影響時，將各拱圈視為獨立拱進行，忽略其相互影響)。這時我們已求出下列幾項應力：

中央悬臂梁上：力矩  $M_y$ ，剪力  $V_y$ ，垂直压力  $P_y$ （即自重）。

拱圈上：力矩  $M_x$ ，剪力  $V_x$ ，轴向力  $P_x$  [包括各拱圈按式(2)求得的箍压力  $P_x$  及第二次校正基础影响所引起的轴向力  $P'_x$ ]。

这种改良的圆筒法，是我们设计某电站厂房防洪拱圈方案时研究出来的。对于薄的定圆心的拱坝（不论修建于U形或V形峡谷中）都很适用，它的计算远比薄壳理论或试截法为简单，而所给出的中央悬臂梁及各拱圈的应力，都有足够的精度，可惜它不适用于变圆心拱坝及很厚的拱坝。

比圆筒法更合理的做法，是视拱坝为一連續的彈性薄壳，然后用薄壳理论来进行计算。但一般性的薄壳解法是很繁复的，除了少数简单情况外，尚无现成的结果可供采用。只在近年来才有一些视拱坝为弹性薄壳而用薄壳理论进行初步分析的论文发表，读者可参考“水利译丛”、“水力发电”和“水电建設参考資料”各期刊上的转载译文。这些论文虽多数尚限于简单和近似的分析，但我们若注意到拱坝的结构形式日益向薄壳方向发展，可以确信相应的理论研究工作在今后亦必有更多的发展。

### 第三章 純拱法中的拱和基础常数

純拱法既然將各拱圈視為獨立的拱進行計算，則問題就簡化成普通結構學上彈性拱的計算問題，其比較特殊的地方，有以下幾點：

- (1) 拱壩所受剪力及壓力的數值很大，因此，它們對於變形的影響不宜忽略（尤其是壓力的影響）。
- (2) 拱壩兩端基礎能發生彈性變形，而且基礎變形對拱壩應力的影響很大，亦不宜忽略。
- (3) 拱壩所受的主要荷載是向心的水壓力及溫度荷載（地震時尚有橫向慣性力）。
- (4) 拱壩拱圈厚度較大，宜作為厚拱計算。

純拱法計算中，最好利用“形常數”及“載常數”的觀念，最稱清晰。以下我們介紹這些常數的定義。

#### (甲) 形常數

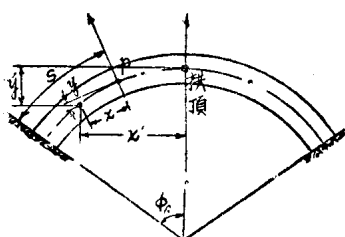


图 3

圖 3 中示一拱圈， $P$ 為其中任一點，在該點處有 6 個形常數  $A_1, B_1, C_1, B_2, C_2, B_3$ ，其定義如下：

$A_1$  在  $P$  处將拱圈割斷，化成兩段彎曲的懸臂梁，並在  $P$  点處作用一單位力矩，所引起的  $P$  点轉動角，稱為  $A_1$ ，如基礎剛固，則

$$A_1 = \int_0^s \frac{ds}{EI}$$

(积分自  $P$  点积至較近的拱端);如基础能发生彈性变形,則

$$A_1 = \int_0^s \frac{ds}{EI} + (E) \quad (4)$$

式中  $(E)$  为基础常数, 即作用一单位力矩于基础上所引起的基础轉動角。可見形常数常由两部分合成, 一部分是拱圈成分  $\left( \int_0^s \frac{ds}{EI} \right)$ , 另一部分是基础成分 [如  $(E)$ ]。其他形常数及載常数亦同。

$B_1$  在  $P$  点作用一单位軸向力所引起的該点轉動, 由馬氏互等定律, 此值亦即在  $P$  点作用一单位力矩所引起的該点切向位移, 其公式为

$$B_1 = \int_0^s \frac{y ds}{EI} + (E)y_A + (F)\sin\phi_A \quad (5)$$

式中第一項为拱圈部分, 第二、三項为基础影响部分,  $x$ 、 $y$  为各点坐标① (以  $P$  点为原点, 坐标軸沿  $P$  点徑向及切向),  $x_A$ 、 $y_A$  为拱端坐标,  $(F)$  为另一基础常数, 即在基础上作用一单位軸向力所发生的轉動。

$C_1$  在  $P$  点作用一单位剪力所引起的該点轉動, 由馬氏互等定律, 此值亦即在  $P$  点作用一单位力矩所引起的該点徑向位移, 其公式为

$$C_1 = \int_0^s \frac{x ds}{EI} + (E)x_A + (F)\cos\phi_A \quad (6)$$

$B_2$  在  $P$  点作用一单位軸向力所引起的該点徑向位移, 由馬氏互等定律, 此值亦即在  $P$  点作用一单位剪力所引起的該点切向位移, 其公式为

① 对于拱頂这一点而言,  $x$ 、 $y$  軸即为水平和垂直軸,  $x_A$ 、 $y_A$  及  $\phi_A$  表示拱端至拱頂的纵横坐标和角坐标。

$$B_2 = \int_0^S \frac{xy ds}{EI} - \int_0^S \frac{\sin \phi \cos \phi ds}{EA} + 3 \int_0^S \frac{\sin \phi \cos \phi ds}{EA} \\ + (E)x_A y_A - (G)\sin \phi_A \cos \phi_A + (H)\sin \phi_A \cos \phi_A \\ + (F)x_A \sin \phi_A + (F)y_A \cos \phi_A \quad (7)$$

式中前三项为拱圈影响，后五项为基础影响， $\phi$ 为各点的角坐标，  
(G)及(H)为另两个基础常数，其定义为

- (G)——在基础上作用单位轴向推力所引起的切向变形值；  
(H)——在基础上作用单位剪力所引起的径向变形值。

$C_2$ ——在  $p$  点作用一单位剪力所引起该点的径向位移，其  
值为

$$C_2 = \int_0^S \frac{x^2 ds}{EI} + \int_0^S \frac{\sin^2 \phi ds}{EA} + 3 \int_0^S \frac{\cos^2 \phi ds}{EA} \\ + (E)x_A^2 + (G)\sin^2 \phi_A + (H)\cos^2 \phi_A + 2(F)x_A \cos \phi_A \quad (8)$$

$B_3$ ——在  $p$  点作用一单位轴向力所引起该点的切向位移，其  
值为

$$B_3 = \int_0^S \frac{y^2 ds}{EI} + \int_0^S \frac{\cos^2 \phi ds}{EA} + 3 \int_0^S \frac{\sin^2 \phi ds}{EA} \\ + (E)y_A^2 + (G)\cos^2 \phi_A + (H)\sin^2 \phi_A + 2(F)y_A \sin \phi_A \quad (9)$$

以上六个形常数，只为拱圈尺寸及基础特性的函数。属于基  
础部分的有(E)、(F)、(G)、(H)四个基本常数，它们是基础弹性模  
量、泊松比、基坑尺寸及基坑倾角的函数。根据这些资料，可以按一  
定公式求出(E)、(F)、(G)、(H)四值（公式列于第十一章中）。属于  
拱圈部分的，有以下9个积分值：

$$\int \frac{ds}{EI}, \int \frac{y ds}{EI}, \int \frac{x ds}{EI}, \int \frac{xy ds}{EI}, \int \frac{x^2 ds}{EI}, \int \frac{y^2 ds}{EI}, \\ \int \frac{\sin^2 \phi ds}{EA}, \int \frac{\cos^2 \phi ds}{EA}, \int \frac{\sin \phi \cos \phi ds}{EA}.$$

对于非圆形拱，或变截面拱，这些积分值须用分段积分法求出，工

作量很大；对于圆拱，可利用某些数表，查出拱圈上各指定点的这些积分值。

在导引上列公式中，是取剪力系数  $2k(1+\mu)=3$  的（ $k$  为断面上剪力分布系数），有的资料中定此值为 2.88，则以上各式中的系数 3 应改为 2.88。

在导引以上公式时，对应力及位移的正负号，采取图 4 中所示的规定（示左半拱圈）。

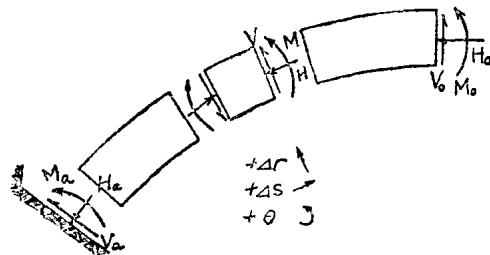


图 4 正的应力及位移图

### (乙) 载常数

载常数共計 3 个，記之为  $D_1$ 、 $D_2$  及  $D_3$ 。

$D_1$ ——由于拱圈上荷載所引起的  $p$  点轉动值（所謂拱圈荷載即指自拱端至  $p$  点間的荷載），其值为

$$D_1 = \int_0^s \frac{M_L ds}{EI} + M_{AL}(E) + V_{AL}(F) \quad (10)$$

式中  $M_L$  指拱圈上各点（在  $p$  点切开后）由荷載所引起的靜定力矩， $M_{AL}$  及  $V_{AL}$  指靜定情况下的拱端的力矩和剪力。

$D_2$ ——由于拱圈上荷載所引起的  $p$  点的徑向位移值，按下式計算：

$$\begin{aligned} D_2 = & \int_0^s \frac{M_L x ds}{EI} + \int_0^s \frac{H_L \sin \phi ds}{EA} + 3 \int_0^s \frac{V_L \cos \phi ds}{EA} \\ & + M_{AL}(E)x_A + H_{AL}(G)\sin \phi_A + V_{AL}(H)\cos \phi_A \\ & + M_{AL}(F)\cos \phi_A + V_{AL}(F)x_A - ct y_A \end{aligned} \quad (11)$$